

**Проективные коники и M -квинтиki в общем положении
с максимально пересекающейся парой овалов**

С.Ю.ОРЕВКОВ

Получена изотопическая классификация кривых, указанных в заглавии. Для запретов использована теория зацеплений (неравенство Мурасуги — Тристрама).

Настоящая работа продолжает исследование плоских вещественных приводимых кривых степени 7, начатое в [1–3]. В ней дается изотопическая классификация кривых, указанных в заглавии. Мы используем те же методы, что и в [4, 3]. При этом, как оказалось, случай коники и квинтиki более "регулярен", чем случай кубики и квартки: все запреты удается доказать по одной схеме. То же относится и к построениям. Мы придерживаемся тех же обозначений, что и в [3], и часто будем опускать подробности, которые можно найти в [3].

Автор благодарит Г.М. Полотовского за полезные обсуждения. Автор благодарит математический институт им. Макса Планка за гостеприимство.

1. Формулировка результата. Ниже C_n обозначает множество вещественных точек M -кривой степени n на $\mathbb{R}P^2$. Напомним, что M -квинтика C_5 состоит из 7 гладких окружностей. Среди них 6 *овалов* (изотопны конике), расположенных вне друг друга, и одна *нечетная ветвь* J_5 (изотопна прямой). В данной работе мы всюду предполагаем, что один из овалов M -квинтиki C_5 (обозначим его O_5) имеет 10 различных точек пересечения с коникой C_2 . Тогда по теореме Безу все пересечения должны быть трансверсальными, и остальные 5 овалов не могут пересекаться с C_2 — мы будем называть эти овалы *свободными*.

Выбирая различными способами две точки в разных компонентах $\mathbb{R}P^2 \setminus (C_2 \cup C_5)$ и учитывая, что проходящая через эти точки прямая не может пересекать C_n более, чем в n точках, несложно проверить (см. [1, 2]), что с точностью до изотопии C_5 должна быть расположена относительно C_2 одним из 10 способов, изображенных на рис. 1, где нечетная ветвь J_5 не нарисована, и α, β — a priori произвольные неотрицательные целые числа, такие что $\alpha + \beta = 5$ (это количества свободных овалов в соответствующих областях).

Цель настоящей статьи в том, чтобы доказать, что реализуемы те и только те расположения, которые отвечают значениям α , перечисленным на рис. 1.

2. Построения. По аналогии с [3], расположения C_5 относительно C_2 (удовлетворяющие условиям, перечисленным в §1) мы будем кодировать следующим образом. Словом $w = \langle s_1 \dots s_n \rangle$, $s_k \in \{+, -\}$ будем кодировать расположение O_5 относительно C_2 , составленное из блоков $B(s_1), \dots, B(s_n)$ в соответствии

Работа частично поддержана грантом 98-01-00794 РФФИ

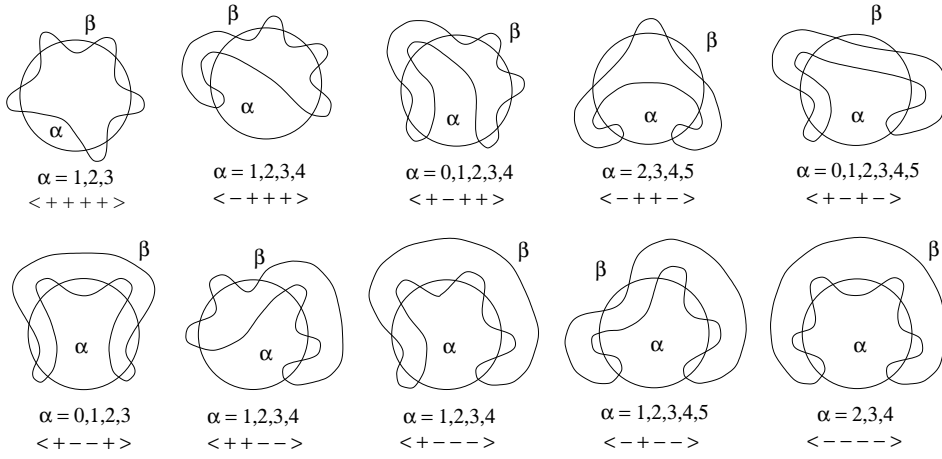


Рис. 1

с рис. 2.1; блоки $B(+)$ и $B(-)$ см. на рис. 2.2. Параметр α будем указывать в фигурных скобках после слова w .

Все реализуемые расположения строятся сглаживанием подходящих особых кривых. Обозначим через $2n\{\alpha\}$, $n = 0, 1, 2$, $\alpha = 0, 1$, расположение особой трехкомпонентной квинтики относительно коники C_2 , изображенное на рис. 2.3: квинтика имеет две особые точки типов A_{2n} , A_{8-2n} (по соглашению, A_0 — гладкая точка), лежащие на одной четной ветви, и свободный овал квинтики расположен внутри C_2 при $\alpha = 1$ и снаружи при $\alpha = 0$.

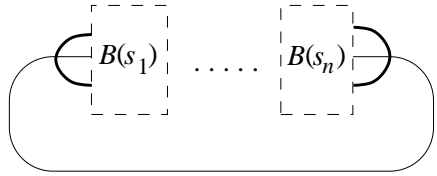


Рис. 2.1

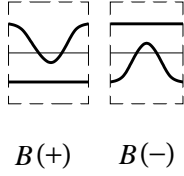


Рис. 2.2

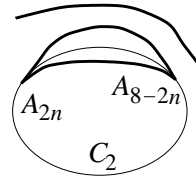


Рис. 2.3

Лемма. *Все шесть расположений $2n\{\alpha\}$, $n = 0, 1, 2$, $\alpha = 0, 1$, реализуемы алгебраическими кривыми.*

Доказательство. Если кривая C в точке p неособа и не имеет перегиба, то обозначим через $f_{C,p}$ квадратичное бирациональное преобразование $(u, v) \mapsto (u, v-u^2)$, где (u, v) — аффинная карта, в которой бесконечно удаленная прямая касается C в точке p , причем C имеет возле p разложение $v = u^2 + O(u)$, $u \rightarrow \infty$.

$0\{\alpha\}$ и $2\{\alpha\}$. Пусть $Q := L^2L_0^2 + \varepsilon l_1l_2l_3l_4$, где $|\varepsilon| \ll 1$, — каспидальная трехкомпонентная квартика, и p, q — ее точки касания с двумя из прямых l_i (см. рис. 3.1, 3.2). Тогда $f_{Q,p}(Q) \cup f_{Q,p}(L)$ реализует расположение $0\{1\}$ в случае 3.1 и $0\{0\}$ в случае 3.2, а $f_{Q,q}(Q) \cup f_{Q,q}(L)$ реализует расположение $2\{0\}$ в случае 3.1 и $2\{1\}$ в случае 3.2.

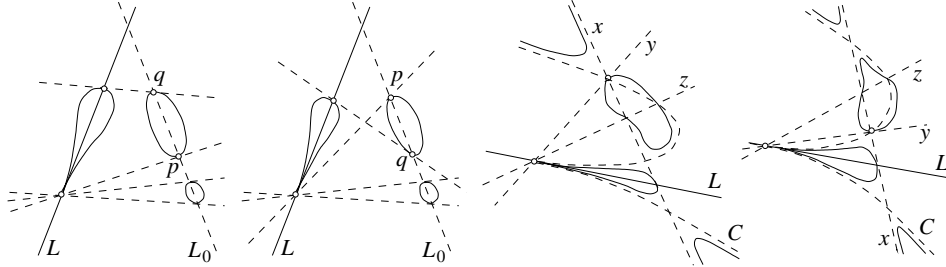


Рис. 3.1

Рис. 3.2

Рис. 3.3

Рис. 3.4

$4\{\alpha\}$. Пусть C — каспидальная кубика, расположенная относительно координатных осей, как показано на рис. 3.3, 3.4, и $Q := xC + \varepsilon yzL^2$ — каспидальная квартинка. Пусть hy — гиперболизм, т.е. бирациональное преобразование $hy(x : y : z) = (x^2 : xy : yz)$. Тогда $hy(Q) \cup hy(L)$ реализует расположение $4\{1\}$ в случае 3.3 и $4\{0\}$ в случае 3.4.

В [3] показано, что для любого выбора знаков $s_1, \dots, s_n, s'_1, \dots, s'_{4-n}$ существует возмущение кривой $2n\{\alpha\}$, вида $\langle s_1 \dots s_n s'_{4-n} \dots s'_1 \rangle \{\alpha + \alpha_0\}$, где α_0 — число плюсов в последовательности $-s_1, s_2, \dots, (-1)^n s_n, (-1)^n s'_{4-n}, \dots, s'_2, -s'_1$. Несложно проверить, что это дает все расположения на рис. 1.

Замечание. Четыре расположения $\langle++++\rangle\{\alpha\} \langle----\rangle\{\alpha+1\}$, $\alpha = 2, 3$ можно построить элементарно: надо в качестве C_5 взять подходящее возмущение двух коник (одна из них будет C_2) и прямой.

3. Запреты. Нереализованные выше значения α для случая $\langle++++\rangle$ запрещены методом комплексных ориентаций ([1, VII]; см. также [3, 3.1]). Во всех других случаях найдется точка p , лежащая в области α в выпуклой оболочке овала O_5 и, следовательно, вне свободных овалов квинтиков (ср. с проекцией III в [3, 3.2.4]). Выберем аффинные координаты (x, y) , в которых p — бесконечно удаленная точка прямых $x = \text{const}$ и бесконечно удаленная прямая в 5 точках пересекает O_5 . Тогда C_2, O_5 и J_5 расположены относительно этих координат, как показано на рис. 4, где блоки $B(s_i)$ те же, что на рис. 2.2.

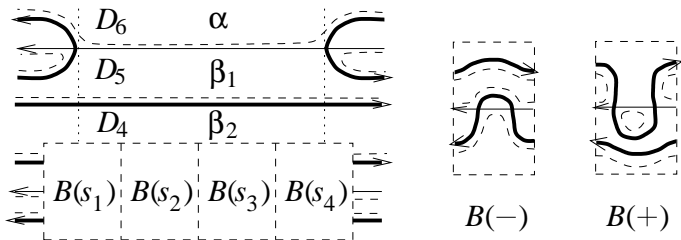


Рис. 4

Поскольку вертикальная прямая не может пересекать C_5 более, чем в 5 точках, свободные овалы квинтиков должны лежать в полосе между вертикальными касательными к O_5 (обозначим ее через D). Пусть D_4, D_5, D_6 — три

верхние компоненты связности множества $D \setminus (C_2 \cup O_5)$ (см. рис. 4). Тогда α овалов лежат в D_6 и β овалов — в $D_5 \cup D_4$. Занумеруем свободные овалы квинтиками слева направо, и пусть D_{ij} — полоса, в которой лежит j -й овал, $j = 1, \dots, 5$. Положим $\delta\alpha = \sum_{i,j=6} (-1)^j$, $\delta\beta_k = \sum_{i,j=6-k} (-1)^j$, $k = 1, 2$.

Из формулы комплексных ориентаций для C_5 (см. [5]) и теоремы Фидлера о чередовании ориентаций [6] следует, что

$$\delta\alpha + \delta\beta_1 - \delta\beta_2 = 0. \quad (1)$$

Выберем комплексные ориентации на C_2 и C_5 так, чтобы C_2 и O_5 были ориентированы противоположно относительно J_5 . Пусть F — кривая степени 7, получающаяся из $C_2 \cup C_5$ сглаживанием двойных точек в соответствии с выбранными ориентациями (изображена пунктиром на рис. 4). Тогда число овалов кривой F равно $2P + 7$, где P — число плюсов в слове $\langle s_1 s_2 s_3 s_4 \rangle$, кодирующем рассматриваемое расположение $C_2 \cup O_5$. Поэтому формула комплексных ориентаций для F дает

$$\varepsilon((1+2\varepsilon)\delta\alpha + \delta\beta_1 - \delta\beta_2) = 2P - 5, \quad (2)$$

где $\varepsilon = \pm 1$ — знак овала O_5 относительно нечетной ветви J_5 . Добавляя к (1), (2) очевидное соотношение $\delta\alpha + \delta\beta_1 + \delta\beta_2 = -1$ и решая получившуюся систему уравнений, находим:

$$\delta\alpha = q - 2, \quad \delta\beta_1 = 1 - q, \quad \delta\beta_2 = 0, \quad \text{где } q = P + (\varepsilon - 1)/2. \quad (3)$$

Для расположений $\langle s_1 s_2 s_3 s_4 \rangle \{\alpha\}$, не реализованных в §2, все наборы чисел $i_1 \dots i_5$, для которых существует $\varepsilon = \pm 1$, при котором выполнены соотношения (3), таковы:¹

$\langle -+++\rangle\{0\}$	$\langle -+-+\rangle\{1\}$	$\langle -++-\rangle\{0\}$	$\langle +-+\rangle\{4\}$	$\langle +--\rangle\{5\}$	$\langle +---\rangle\{0\}$	$\langle +--+ \rangle\{4\}$	$\langle +----\rangle\{5\}$
$\langle -+++\rangle\{0\}$				$\langle +---\rangle\{5\}$		$\langle +---\rangle\{4\}$	
44445	44446						$\langle +---\rangle\{5\}$
44544	44556						$\langle +--+ \rangle\{5\}$
44555	44644						$\langle +---\rangle\{0\}$
45545	44655						$\langle +---\rangle\{0\}$
54444	45546	44445					$\langle +---\rangle\{0\}$
54455	45645	44544					$\langle +---\rangle\{1\}$
54554	54456	44555					$\langle +---\rangle\{5\}$
55445	55446	45545					
55544	55556	54455	56666				нет
55555	55655	55555	66566	66666			решений

(В столбцах 2–4 учтена симметричность слов $\langle -+++\rangle$, $\langle +-+\rangle$.) Проверяя для каждого из перечисленных 41 случаев неравенство Мурасуги — Тристрама так, как это было сделано в [3], убеждаемся, что все они нереализуемы.

¹Последней колонке этой таблицы отвечают расположения, запрещенные в [1, VII] методом комплексных ориентаций. В частности, мы видим, что в [1] на рис. 16 была опечатка: вместо $\alpha \neq 2$ для 5-й модели должно быть $\alpha \neq 5$ для 2-й модели.

СПИСОК ЛИТЕРАТУРЫ

1. Polotovskii G.M., *On the classification of decomposing plane real algebraic curves*, Lect.Notes in Math. **1524** (1992), 52–74.
2. Polotovskii G.M., *On the classification of decomposable 7-th degree curves*, Contemp. Math. (1999) (to appear).
3. Оревков С.Ю., Полотовский Г.М., *Проективные M -кубики и M -квартки в общем положении с максимально пересекающейся парой овалов*, Алгебра и анализ (представлено к публикации).
4. Orevkov S.Yu., *Link theory and oval arrangements of real algebraic curves*, Topology (to appear).
5. Рохлин В.А., *Комплексные топологические характеристики вещественных алгебраических кривых*, Успехи Матем. Наук **33:5** (1978), 77–89.
6. Фидлер Т., *Пучки прямых и топология вещественных алгебраических кривых*, Изв. АН СССР, сер. мат. **46** (1982), 853–863.

МАТЕМАТИЧЕСКИЙ ИНСТИТУТ РАН ИМ.В.А.СТЕКЛОВА
E-mail address: orevkov@mi.ras.ru